

ALMA MATER STUDIORUM · UNIVERSITÀ DI BOLOGNA

---

SCUOLA DI SCIENZE

Corso di Laurea Triennale in Informatica

**Tecniche di deep learning  
per il riconoscimento  
di errori nel codice**

**Relatore:**  
**Chiar.mo Prof.**  
**Maurizio Gabbrielli**

**Presentata da:**  
**Matteo Vannucchi**

**Sessione I**  
**Anno Accademico 2021-2022**

## Abstract

Il ruolo dell'informatica è ormai diventato chiave del funzionamento del mondo moderno in progressiva digitalizzazione di ogni singolo aspetto della vita dell'individuo. Con l'aumentare della complessità del codice e delle dimensioni dei progetti, il rilevamento di errori diventa sempre di più un'attività difficile e lunga. Meccanismi di analisi del codice sorgente tradizionali sono esistiti fin dalla nascita dell'informatica stessa, e il loro ruolo all'interno della catena produttiva di un team di programmatori non è mai stato così fondamentale come lo è tuttora. Questi meccanismi di analisi però non sono esenti da problematiche: il tempo di esecuzione su progetti grandi e la percentuale di falsi positivi possono infatti diventare un grosso problema. Per questi motivi meccanismi fondati su *Machine Learning*, e più in particolare *Deep Learning*, sono stati sviluppati negli ultimi anni. Questo lavoro di tesi si pone quindi l'obiettivo di esplorare e sviluppare un modello per il riconoscimento di errori in un qualsiasi file sorgente scritto in linguaggio sia C sia C++.

# Indice

<b>1</b>	<b>Introduzione teorica</b>	<b>6</b>
1.1	Code2Vec . . . . .	6
1.1.1	Meccanismo di attenzione . . . . .	6
1.1.2	AstContext . . . . .	6
<b>2</b>	<b>Dataset</b>	<b>7</b>
2.1	Dataset originale . . . . .	7
2.2	Analizzatori di codice statici . . . . .	8
2.2.1	Analisi a livello di progetto . . . . .	9
2.2.2	Analizzatori utilizzati . . . . .	9
2.3	Utilizzo efficace di processori multicore . . . . .	10
2.4	Prima fase: generazione dei report degli errori . . . . .	10
2.5	Seconda fase: aggregazione dei report degli errori . . . . .	12
2.5.1	Parsing dei report . . . . .	12
2.5.2	Normalizzazione . . . . .	13
2.5.3	Aggregazione dei report . . . . .	14
2.6	Terza fase: associazione tra errore e codice . . . . .	15
2.6.1	Alberi di sintassi astratta . . . . .	17
2.6.2	Generazione e parsing degli AST . . . . .	19
2.6.3	Contesto di una funzione . . . . .	19
2.6.4	Esempio di risultato finale . . . . .	21
2.7	Quarta fase: Generazione degli AST-context . . . . .	22

2.7.1	AstMiner . . . . .	22
2.7.2	Generazioni vocabolari per i token e per i path . . . . .	23
<b>3</b>	<b>Modello vero e proprio</b>	<b>25</b>
3.1	Soluzioni allo sbilanciamento del dataset . . . . .	25
3.1.1	Oversampling . . . . .	25
3.1.2	Loss pesata . . . . .	25
3.2	Differenti architetture del modello provate . . . . .	25
3.3	Training . . . . .	25
3.3.1	Metriche utilizzate . . . . .	25
3.4	Risultati . . . . .	25
3.4.1	Risultati dati dal test dataset . . . . .	25
3.4.2	Risultati dati su codice creato al momento . . . . .	25
<b>4</b>	<b>Conclusioni</b>	<b>26</b>
4.1	Possibili migliorie . . . . .	26
	<b>Bibliografia</b>	<b>27</b>

# Elenco delle figure

2.1	La struttura della directory di un progetto del dataset iniziale . . . . .	8
2.2	Numero di errori generati da ogni analizzatore . . . . .	12
2.3	Numero di errori aggregati ottenuti in variazione del numero $n$ di occorrenze minime . . . . .	15
2.4	<i>Trade-off</i> che avviene tra la dispersività e la quantità di informazioni. Selezionando tanto codice avremo tante informazioni ma anche la dispersività aumentata, mentre selezionandone poco avremo poca dispersività ma potremmo perdere informazioni chiave. Le due linee rosse indicano un punto di bilanciamento tra i due. . . . .	16
2.5	Esempio di albero di sintassi astratta . . . . .	18
2.6	Grafo delle dipendenze di tipo per lo Snippet 2.3 . . . . .	21
2.7	Dimensione dei vocabolari dei token . . . . .	24

# Elenco delle tabelle

2.1	Tabella delle diverse nomenclature per l'errore 'memory leak' . . . . .	13
2.2	Tabella che mostra come un determinato errore di un analizzatore potrebbe corrispondere a più forme normalizzate . . . . .	14

# Introduzione

# Capitolo 1

## Introduzione teorica

### 1.1 Code2Vec

#### 1.1.1 Meccanismo di attenzione

#### 1.1.2 AstContext



# Capitolo 2

## Dataset

In questo capitolo tratteremo la generazione del dataset posto alla base del modello che andremo a creare poi nel Capitolo 3. Vederemo prima il dataset originale utilizzato e poi come è stato aumentato tramite l'utilizzo di ulteriori analizzatori statici per migliorarne la precisione delle rilevazioni, andando a ridurre il numero di falsi positivi. Verrà poi presentato come le rilevazioni degli analizzatori statici sono utilizzate per la associazione fra un *code snippet* e il relativo errore, poi come da quest'ultimo venga ricavato il codice in formato di *ast context vector*.

### 2.1 Dataset originale

Come detto in precedenza questo dataset non è stato generato partendo da zero, ma facendo riferimento al dataset creato da [2]. Il dataset consiste di circa 3000 progetti di GitHub, scritti in linguaggi C e C++, che rispettano due requisiti: hanno una licenza ridistribuibile e hanno almeno 10 stelle. Il secondo requisito ci serve per garantire che i progetti all'interno del dataset soddisfino dei requisiti di qualità, infatti come precedenti studi hanno mostrato (come ad esempio [4]) si può utilizzare il numero di stelle su GitHub come un *proxy* per la qualità del codice stesso.

Il dataset contiene per ogni progetto una serie di analisi effettuate: l'analisi di Doxygen che estrae le coppie codice-commento e l'analisi di Infer (scrivere che cosa è infer,

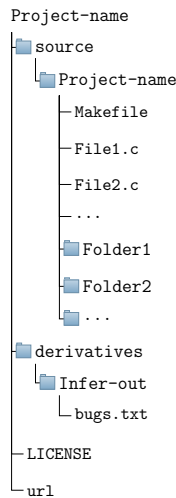


Figura 2.1: La struttura della directory di un progetto del dataset iniziale

magari con un footnote) che produce un report di analisi statica degli errori. Visto l'utilizzo che ne sarebbe stato fatto di questo dataset, l'analisi di Doxygen è stata scartata. In Figura 2.1 si può vedere la struttura tipica di uno dei circa 3000 progetti presenti.

Come si può notare ogni progetto contiene anche un Makefile, elemento fondamentale perché gli analizzatori statici che andremo ad aggiungere spesso richiedono l'esistenza di un Makefile funzionante.

## 2.2 Analizzatori di codice statici

Un'analizzatore di codice è un programma che prende in input uno o più file e genera un report degli errori, cioè una lista di coppie del tipo <Errore, Posizione>, spesso in forma di file testuale. Di questi analizzatori ne esistono due macro categorie: statici e dinamici. Gli analizzatori statici sono programmi che effettuano controlli solo sul codice a livello testuale e che quindi non eseguono in nessuna maniera il codice. Gli analizzatori dinamici sono invece analizzatori più complessi che effettuano controlli a *run-time* andando quindi ad eseguire il codice stesso.

Gli analizzatori non sono però perfetti, infatti nell'insieme degli errori trovati si pos-

sono spesso trovare dei falsi positivi, cioè frammenti di codice segnalati come erronei ma che in realtà non presentano nessun tipo di problema. Scopo appunto del dataset aumentato è quello di ridurre il numero di falsi positivi.

### 2.2.1 Analisi a livello di progetto

La maggior parte degli analizzatori statici inoltre è in grado di lavorare a livello di progetti, andando quindi a risolvere correttamente gli *include* (nel caso di C e C++), e quindi generando un output più significativo. Alcuni di questi per far ciò hanno bisogno di un file che viene chiamato *compilation database* che mantiene informazioni sulla compilazione dei file del progetto. Per soddisfare questo requisito esistono strumenti appositi che utilizzano il Makefile per generarlo, nel caso di questo lavoro è stato utilizzato un programma chiamato Bear.

### 2.2.2 Analizzatori utilizzati

Come analizzatori sono stati utilizzati i seguenti quattro:

- L'analizzatore Cppcheck che ha tra i suoi punti di forza il minimizzare il numero di falsi positivi.
- GCC che, oltre ad'essere un compilatore, ha anche funzionalità per l'analisi statica dei programmi attraverso il parametro *-fanalyzer*.
- Il compilatore Clang che attraverso un suo tool chiamato Clang-Check è in grado di effettuare analisi statiche.
- L'analizzatore Infer di cui il dataset è già dotato delle analisi per ogni progetto.

Non sono stati usati analizzatori dinamici, questo perché il loro utilizzo in modo automatizzato è un'operazione complicata se non quasi impossibile. Infatti quasi tutti i programmi prendono o dei parametri all'esecuzione o degli input durante l'esecuzione, ma fornire questi dati in modo consistente e sensato per il programma e in modo automatizzato rende il tutto veramente difficile.

L'utilizzo di essi però potrebbe portare a risultati molto interessanti poiché parte dei falsi positivi degli analizzatori statici deriva dal non poter decidere se frammenti di programmi sono o non sono eseguiti e quindi gli analizzano tutti. Può infatti succedere che se in un frammento di programma che non viene sicuramente mai eseguito c'è un errore, l'analizzatore statico lo riferisce mentre quello dinamico, correttamente, no.

## 2.3 Utilizzo efficace di processori multicore

L'ultimo argomento da discutere prima di illustrare i passaggi della generazione del dataset è il tempo di esecuzione. Vista la mole di progetti e le loro dimensioni non irrilevanti se eseguiamo in modo *naive* la generazione del dataset avremmo tempi di analisi che possono estendersi anche a periodi di giorni. Dal momento che il processore utilizzato per la generazione del dataset è un processore multicore è stato deciso di ridurre i tempi di esecuzione delle fasi della generazione sfruttando ciò. Python attraverso la sua libreria *multiprocessing* permette infatti di eseguire la computazione in processi diversi, andando a ridurre drasticamente il tempo delle operazioni. Quindi tutte le operazioni di seguito descritte, anche non facendone più menzione, saranno eseguite in questa maniera.

## 2.4 Prima fase: generazione dei report degli errori

La prima fase della generazione del dataset consiste quindi nell'utilizzare i tre analizzatori scelti per generare ulteriori report degli errori, in particolare:

- Per eseguire l'analizzatore di GCC vengono prima raccolti tutti i file sorgenti del progetto, cioè tutti quei file che terminano con ".c", ".cpp" o ".h". Una volta fatto ciò viene eseguito il seguente comando:

```
$ gcc -fanalyzer -Wall <files> 2>gcc-bugs.txt
```

Il prodotto di questo comando sarà un unico file contenente tutti gli errori e la loro posizione indicata con il percorso relativo del file e il numero sia della riga sia della colonna.

- Clang-check invece può essere eseguito su una cartella e quindi si occupa lui di trovare i file da analizzare. Non viene però utilizzato in questa modalità perché nel file di output finale al posto del percorso relativo dei file viene utilizzato solo il nome di questo, ma può succedere che in progetti grandi si abbiano file chiamati uguali ma in cartelle diverse. Per risolvere questo problema viene eseguito individualmente su ogni file tramite il comando:

```
$ clang-check --analyze -p compile_commands.json <file>
```

Come si può notare utilizza un file chiamato `compile_commands.json` che è il file che è richiesto da certi analizzatori statici, come già detto nella sottosezione 2.2.1. Gli output generati dall'esecuzione di questi comandi vengono poi processati andando a sostituire i nomi dei file con il loro percorsi relativi, e poi uniti tutti insieme.

- Per finire viene poi eseguito `cppcheck` che invece non ha bisogno di nessun aggiornamento e si può eseguire direttamente su tutta la cartella contenente i sorgenti con il seguente comando:

```
$ cppcheck <cartella_sorgenti> --output-file=cppcheck-bugs.txt
```

In Figura 2.2 possiamo vedere quanti errori sono stati generati da ogni singolo analizzatore.

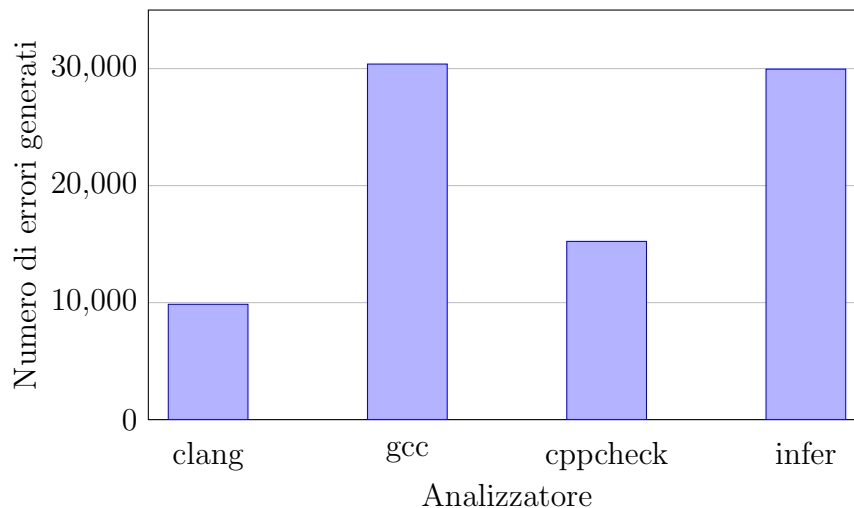


Figura 2.2: Numero di errori generati da ogni analizzatore

## 2.5 Seconda fase: aggregazione dei report degli errori

Dopo la prima fase descritta nella sezione precedente avremo come risultato quattro report di errori in file separati. Questi report si distinguono per due caratteristiche principali: la struttura del file e la nomenclatura degli errori. Per poter andare ad utilizzare questi risultati, e fare quindi l'aggregazione di essi, dovremo effettuare due trasformazioni: un *parsing* e una *normalizzazione*.

### 2.5.1 Parsing dei report

Il *parsing* è l'analisi di un dato in forma testuale per identificarne le sue componenti principali dove, in questo caso, sono la tipologia di errore e la sua posizione. Nel nostro caso è possibile eseguire il parsing tramite delle specifiche *regex* che, avendo diversi formati di file, saranno diverse per ognuno degli analizzatori. Il risultato del parsing sono quindi tanti record nella forma  $\langle \text{errore}, \text{posizione} \rangle$ , dove la posizione indica sia il percorso del file ma sia anche la riga e la colonna dell'errore.

## 2.5.2 Normalizzazione

Per *normalizzazione* si intende il processo di uniformare ad'un unico spazio di valori i dati forniti. Questo fase è fondamentale poiché i vari analizzatori forniscono lo stesso tipo di errore sotto nomi diversi. Per fare un esempio possiamo guardare la Tabella 2.1 che riassume le diverse nomenclature per il tipo di errore 'memory leak'.

Forma normalizzata	Infer	Clang	Cppcheck	GCC
Memory leak	MEMORY_LEAK	unix.Malloc, ...	memleak, memlea- kOnRealloc, ...	Wanalyzer- malloc-leak

Tabella 2.1: Tabella delle diverse nomenclature per l'errore 'memory leak'

Notiamo inoltre un concetto fondamentale: analizzatori diversi producono analisi a granularità diverse. Si può osservare granularità maggiore, per il tipo di errore 'Memory leak', da parte di Cppcheck e Clang nella Tabella 2.1. Infatti tutti e due definiscono più tipologie di errori che però, per convezione di questo progetto, vengono raggruppate in un'unica macro categoria. Al contrario ci sono invece casi in cui un analizzatore non ha sensibilità sufficiente per distinguere fra due o più categorie di errori, in questa situazione un errore di quel tipo viene normalizzato in un errore per ogni categoria che potrebbe rappresentare, si può vedere ciò nella Tabella 2.2. Nella eventualità quindi che Clang riferisca un errore di tipo 'unix.Malloc' dopo la fase di normalizzazione avremo due errori nella stessa posizione: uno di tipo 'Memory leak' e uno di tipo 'Use after free'.

Per effettuare la normalizzazione è stata quindi sviluppata una tabella che associa ad'ogni forma normalizzata degli errori le forme definite dagli analizzatori usati. Questa tabella è stata poi utilizzata come dizionario per convertire le tipologie di errori.

Forma normalizzata	Clang
Memory leak	unix.Malloc, ...
Use after free	unix.Malloc, ...

Tabella 2.2: Tabella che mostra come un determinato errore di un analizzatore potrebbe corrispondere a più forme normalizzate

### 2.5.3 Aggregazione dei report

Una volta definite le trasformazioni da effettuare possiamo introdurre l'effettivo argomento di questa sezione, cioè l'aggregazione dei quattro file prodotti dagli analizzatori. Il processo di aggregazione permette di generare un unico report finale degli errori, andando a selezionare soltanto gli errori che sono stati individuati da almeno  $n$  analizzatori. Modificando il parametro  $n$  andremo, di conseguenza, a modificare la precisione e la dimensione del dataset nel seguente modo:

- Ponendo  $n = 1$  avremo la dimensione massima del dataset, in cui ogni singolo errore riportato viene mantenuto, a scapito però di un numero di falsi positivi più grande. Notiamo comunque, e questo vale per tutti i valori di  $n$ , che nel caso di errori duplicati ne viene sempre inserito solo uno.
- Ponendo  $n = 2$  avremo un bilanciamento fra precisione e dimensione del dataset. Vengono infatti selezionati tutti gli errori riferiti da almeno due analizzatori.
- Ponendo  $n > 2$  invece il numero di errori selezionato diventa così basso che renderebbe difficile addestrare una rete, il numero però di falsi positivi diminuisce di conseguenza.

Si può vedere in modo più chiaro come al variare del valore di  $n$  cambi il numero di errori ottenuti in Figura 2.3. Nel caso di questo lavoro sono stati utilizzati dataset sia derivanti dal porre  $n = 1$  sia dal porre  $n = 2$ .



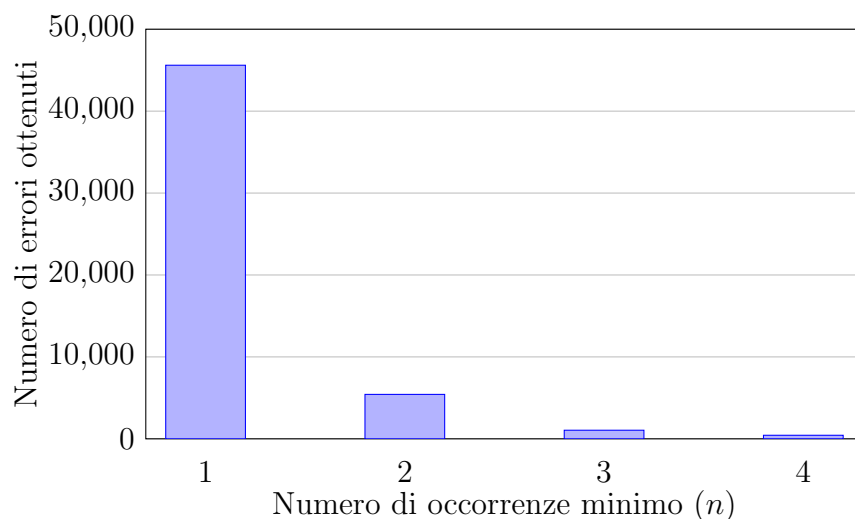


Figura 2.3: Numero di errori aggregati ottenuti in variazione del numero  $n$  di occorrenze minime

## 2.6 Terza fase: associazione tra errore e codice

Lo scopo di questa fase è quello di mappare la posizione di ogni singolo errore ad'un determinato *code snippet*. Prima di far ciò va definito però a che livello eseguire le analisi e quindi le successive predizioni del modello. Le possibili strade che si possono intraprendere sono:

- A livello di file. Facendo ciò, dato un errore il *code snippet* che associamo è il codice sorgente del intero file. Questo metodo ha due vantaggi principali: la semplicità e la quantità d'informazioni codificate. Ha però anche una serie di svantaggi: per il modello potrebbe essere troppo dispersivo per file grandi e dal momento che un singolo file è probabile che contenga più errori il modello dovrebbe restituire sequenze di predizioni.
- A livello di funzione. In questo caso si associa all'errore il blocco della funzione che lo racchiude. Il beneficio di ciò è la riduzione drastica del frammento di codice associato ad'un errore, rendendo più chiare le relazioni tra i vari elementi del codice e il tipo di errore.

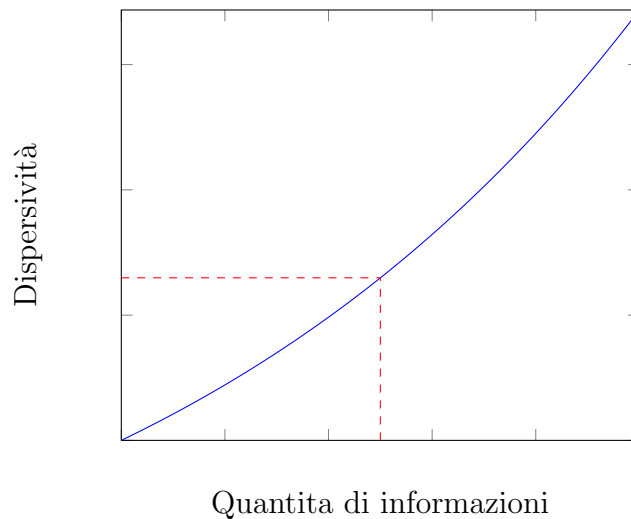


Figura 2.4: *Trade-off* che avviene tra la dispersività e la quantità di informazioni. Selezionando tanto codice avremo tante informazioni ma anche la dispersività aumentata, mentre selezionandone poco avremo poca dispersività ma potremmo perdere informazioni chiave. Le due linee rosse indicano un punto di bilanciamento tra i due.

- A livello di riga, in cui ad un dato errore associamo come code snippet solo la riga stessa. In questo caso la dispersione sarà minima ma allo stesso tempo lo sarà la quantità d'informazioni a disposizione.

In Figura 2.4 possiamo notare il *trade-off* che avviene tra l'aumentare della dimensione del code snippet e la quantità d'informazioni da esso incapsulata.

Nel lavoro svolto è stato scelto di eseguire le analisi a livello di funzione, andando però ad aumentare il quantitativo d'informazioni a disposizione aggiungendo un contesto della funzione (la cui definizione verrà data in seguito nella sottosezione 2.6.3). Facendo questa scelta inoltre è possibile approssimare il problema ipotizzando che in una data funzione ci sia massimo un solo errore, rendendo quindi l'architettura del modello finale più semplice. Una volta determinato il livello a cui svolgere le analisi possiamo tornare al problema principale: estrarre il codice della funzione che racchiude l'errore. Nonostante questo possa sembrare un problema semplice di analisi testuale vedremo come, in realtà, non lo sia. Questo vale ancora di più per linguaggi come C e C++ che, tramite la loro sintassi

molto libera, rendono il tutto più complicato. Prima di discutere di ciò dobbiamo quindi introdurre un concetto fondamentale: gli alberi di sintassi astratta.

### 2.6.1 Alberi di sintassi astratta

Un albero di sintassi astratta, o in breve *ast* (dall'inglese *abstract syntax tree*), è una rappresentazione ad albero della struttura sintattica astratta di un testo, nel nostro caso del codice sorgente. Queste strutture sono spesso generate da parser specifici e vengono utilizzati come rappresentazione intermedia del programma in un processo di compilazione.

Possiamo vedere un esempio di albero prendendo il frammento di codice nello Snippet 2.1 scritto in uno pseudo-linguaggio. Un possibile albero di sintassi astratta per questo frammento di codice è quello indicato in Figura 2.5. Come si può vedere l'ast rappresenta in modo efficace la struttura completa del codice, andando ad individuare e distinguere elementi come:

- Il corpo, la *signature* e il valore di ritorno della funzione.
- La dichiarazione della variabile 'total' e il blocco del for.
- I componenti del costrutto for: il corpo, la condizione, l'inizializzazione e lo step della variabile di controllo.

Snippet 2.1: Frammento di codice che calcola la somma dei valori in un vettore

```
1 void foo(int[] array){
2     int totale = 0;
3     for(int i = 0; i < array.length; i++){
4         totale = totale + array[i]
5     }
6     return totale;
7 }
```

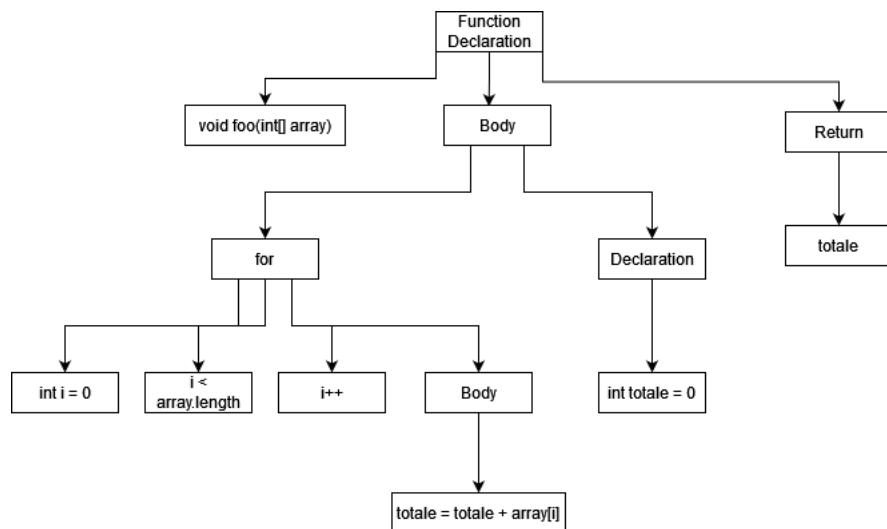


Figura 2.5: Esempio di albero di sintassi astratta

In questo progetto verranno utilizzati gli alberi di sintassi astratta per poter estrarre correttamente il codice della funzione che rinchiude l'errore. Questa operazione poteva anche essere fatta a livello testuale ricercando le parentesi graffe di apertura e chiusura della funzione. In questa maniera però sorgono casi problematici come l'utilizzo di parentesi graffe all'interno di commenti e/o stringhe che vanno ignorati o l'utilizzo particolare di direttive *define*. Tutto ciò rende il problema in apparenza semplice in realtà complesso. A supporto di ciò vediamo lo Snippet 2.2 in cui, nonostante sia codice C++ completamente valido, l'individuazione del corpo della funzione che racchiude la linea di errore è un'operazione tutt'altro che semplice.

Snippet 2.2: Esempio di codice valido con struttura particolare

```

1  #DEFINE OPENBRACKET {
2  #DEFINE CLOSEBRACKET }
3  void foo() OPENBRACKET
4      int error = 5 / 0; // Linea contenente l'errore
5
6      /* Questo commento rende difficile l'individuazione del
        corpo della funzione */

```

```
7      */  
8  
9  CLOSEBRACKET
```

## 2.6.2 Generazione e parsing degli AST

Come accennato nella precedente sezione in questo lavoro vengono utilizzati gli ast come metodo per estrarre i blocchi delle funzioni e il loro relativo contesto. Prima di tutto bisogna essere in grado di generare un albero di sintassi astratta dato un file sorgente. Per far ciò viene utilizzato il compilatore Clang che, attraverso flag specifiche, è in grado di generare un albero rappresentato in formato JSON. Più in particolare per ogni file sorgente che vogliamo analizzare viene eseguito il seguente comando:

```
$ clang -Xclang -ast-dump=json <file>
```

Il risultato di questa operazione è un file in formato JSON che rappresenta la struttura dell'albero. Prima però di proseguire questo file viene caricato e trasformato in una struttura ad albero vera e propria.

Oltre alla struttura sintattica del codice all'interno dei dizionari JSON sono presenti informazioni ulteriori come: indicazioni sulla riga degli elementi, sui tipi, sui riferimenti esterni e molto altro. Tutte queste informazioni vengono poi usate sia per estrarre il codice ma sia per estrarre il contesto della funzione.

## 2.6.3 Contesto di una funzione

Definiamo in fine cosa si intende con contesto di una funzione. Il contesto di una funzione è l'insieme di tutti quei riferimenti esterni che vengono effettuati all'interno del corpo della funzione stessa, possono includere quindi:

- Funzioni esterne.
- Variabili esterne.

- Definizioni di tipo esterne. Visto che le definizioni di tipo possono dipendere da altri tipi non primitivi, in questo caso, oltre al riferimento stesso vengono aggiunte anche le dipendenze di esso.

L'idea posta alla base dell'includere questo contesto nel risultato finale è il poter dare al modello il maggior numero d'informazioni possibili mantenendo comunque limitata la dimensione dello snippet. Senza di questo infatti, anche un umano, potrebbe non essere in grado di comprendere il codice o non poterne trarre conclusioni significative su di esso. Guardando infatti lo Snippet 2.3, senza l'inclusione nel risultato finale della variabile globale non potremmo determinare che nella funzione *foo* ci sia effettivamente un errore di divisione per zero.

Snippet 2.3: Esempio di codice da cui ricavare dipendenze esterne

```
1
2  typedef int typeA;
3  typedef typeA typeB;
4
5  typedef float typeC;
6
7  int variabileGlobale = 0;
8
9  int bar(){
10     ...
11 }
12
13 void foo(){
14     typeB variable = 1; //riferimento di tipo esterno
15     int var = 5 / variabileGlobale // errore
16
17     result = bar();
18     ...
19 }
```

## Estrazione del contesto

Per l'estrazione del contesto vengono utilizzate le informazioni codificate nell'albero di sintassi astratta prodotto da Clang. Solamente per le definizioni di tipo vengono anche incluse le relative dipendenze e per far ciò viene costruito un grafo delle dipendenze.

Il grafo delle dipendenze è un grafo diretto in cui un vertice  $v$  rappresenta una dichiarazione di tipo mentre un arco  $(u, v)$  rappresenta la dipendenza del tipo  $u$  dal tipo  $v$ . Prendiamo come esempio lo Snippet 2.3. Il contesto della funzione *foo* in questo caso dovrà mantenere informazioni sulla definizione di *typeB* che però dipende dalla definizione del *typeA*. Bisogna quindi costruire il grafo delle dipendenze dei tipi utilizzando le informazioni contenute all'interno dell'albero di sintassi astratta. Possiamo vedere quindi il grafo delle dipendenze per questo specifico frammento di codice in Figura 2.6.

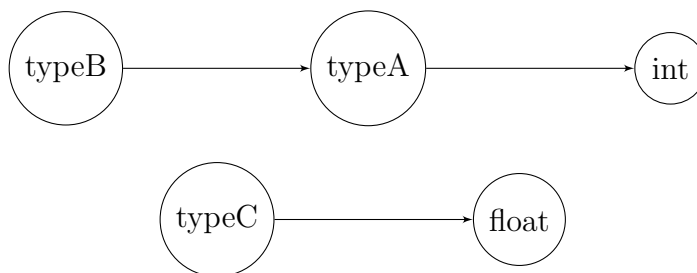


Figura 2.6: Grafo delle dipendenze di tipo per lo Snippet 2.3

Per poter ricavare quindi, una volta costruito il grafo delle dipendenze, le dipendenze delle dichiarazioni di tipo si può eseguire una visita in ampiezza partendo dal riferimento esterno stesso. Nel caso della funzione *foo* otterremo quindi, visto il riferimento esterno al tipo *typeB*, due definizioni di tipo, quelle di *typeB* e *typeA*.

### 2.6.4 Esempio di risultato finale

Riprendendo sempre lo Snippet 2.3 avremo che il risultato finale dell'estrazione del metodo *foo* è il seguente:

---

Snippet 2.4: Esempio di estrazione del codice della funzione *foo* insieme al contesto

```

1
2     typedef int typeA;
3     typedef typeA typeB;
4     int variabileGlobale = 0;
5     int bar();
6     void foo(){
7         typeB variable = 1; //riferimento di tipo esterno
8         int var = 5 / variabileGlobale // errore
9         ...
10    }

```

Notiamo quindi che la definizione del tipo *typeC* non è inclusa poiché non utilizzata all'interno del corpo della funzione, mentre sia la variabile globale sia le due definizioni di tipo e sia la signature della funzione *bar* sono incluse nel contesto.

## 2.7 Quarta fase: Generazione degli AST-context

Come accennato nell'introduzione teorica nel Capitolo 1, il modello che verrà utilizzato prenderà in input il codice sorgente processato sotto forma di *ast context*, cioè delle triple della forma:

$$\langle x_s, p, x_t \rangle$$

dove  $x_s$  e  $x_t$  sono rispettivamente il *token start* e *token end*, mentre  $p$  è il *path* come descritto in [1]. A differenza però di come viene illustrato nell'articolo, in cui  $x_s$  e  $x_t$  sono un singolo valore, verranno utilizzati dei vettori di token di inizio e fine, nel tentativo di ridurre la dimensione dei vocabolari. Per generare queste triple verrà utilizzato un tool chiamato *astminer*.

### 2.7.1 AstMiner

Astminer rappresenta il lavoro descritto in [3] ed è un tool che permette di estrarre gli *ast context* da file sorgenti scritti in vari linguaggi come Python, C/C++ e Java. Può



essere utilizzato in due modi differenti:

- Come una libreria di Kotlin/Java.
- Come un tool standalone della CLI. Questo sarà il modo che verrà utilizzato nel progetto essendo stato scritto tutto in Python.

Lo strumento è configurabile in svariati modi, l'uniche configurazioni rilevanti utilizzate sono:

- É stato utilizzato in modalità `code2vec`.
- Sono stati utilizzati i seguenti valori:
  - `maxPathContextsPerEntity` = 200
  - `maxPathLength` = 20
  - `nodesToNumbers` = `false`. Infatti i token sia del percorso sia di inizio e fine verranno gestiti non da `astminer` ma a livello dell'applicazione con vocabolari specifici.

Come però già accennato nell'introduzione di questa sezione, il prodotto di `Astminer` in realtà non è esattamente uguale a quello illustrato nel articolo di `code2vec`. Infatti invece che avere dei singoli valori per  $x_s$  e  $x_t$ , `Astminer` produce in output `ast context` che hanno token d'inizio e fine che sono vettori, scomponendo token complessi in token multipli. É stato deciso di non modificare questa scelta poiché potrebbe portare alla riduzione notevole della dimensione del vocabolario dei token, andando a rendere più significativo ogni singolo token.

Questa fase è una delle fasi più lente di tutte, seconda solo all'esecuzione degli analizzatori statici.

## 2.7.2 Generazioni vocabolari per i token e per i path

L'output dell'esecuzione di `astminer`, visto il parametro `nodesToNumbers` = `false`, sono degli `ast context` dove ogni token è ancora in formato letterale. Per essere utilizzabile

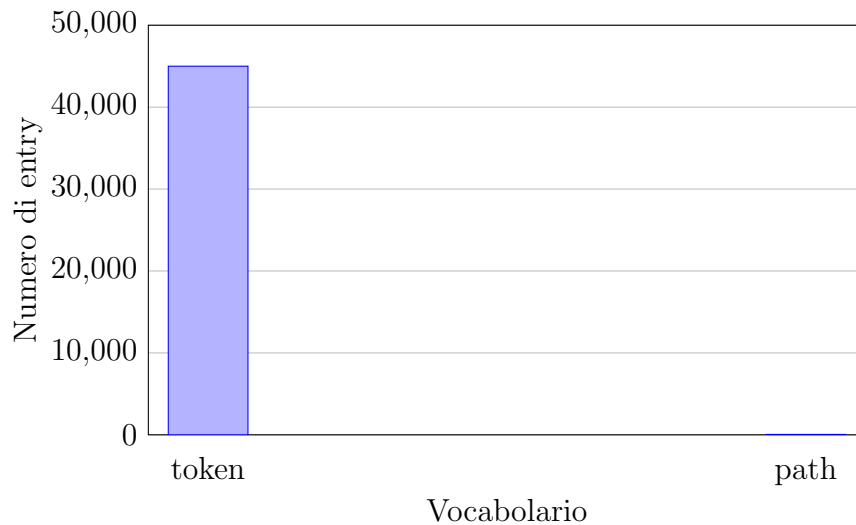


Figura 2.7: Dimensione dei vocabolari dei token

questo formato deve però prima essere trasformato in un valore intero. Tale valore intero rappresenterà l'indice del token letterale all'interno di uno specifico vocabolario.

Più in particolare vengono creati due dizionari diversi:

- Un dizionario dei token degli elementi dei cammini ( $p$ ), che d'ora in avanti chiameremo *path vocab*.
- Un dizionario dei token degli elementi terminali (i valori  $x_s$  e  $x_t$  del ast context). In questo caso lo chiameremo *token vocab*.

In Figura 2.7 possiamo vedere la dimensione dei due vocabolari. Si può vedere come i due abbiano ordini di grandezza completamente differenti, questo può essere spiegato dal fatto che i token terminali racchiudono svariate tipologie di elementi come nomi di variabile e di metodi, mentre i token dei cammini racchiudono solamente elementi sintattici fissi come possono essere costrutti come dichiarazioni, blocchi e operazioni.

# Capitolo 3

## Modello vero e proprio

### 3.1 Soluzioni allo sbilanciamento del dataset

#### 3.1.1 Oversampling

#### 3.1.2 Loss pesata

### 3.2 Differenti architetture del modello provate

### 3.3 Training

#### 3.3.1 Metriche utilizzate

### 3.4 Risultati

#### 3.4.1 Risultati dati dal test dataset

#### 3.4.2 Risultati dati su codice creato al momento

## Capitolo 4

## Conclusioni

### 4.1 Possibili migliorie

# Bibliografia

- [1] Uri Alon, Meital Zilberstein, Omer Levy, and Eran Yahav. code2vec: Learning distributed representations of code. *Proceedings of the ACM on Programming Languages*, 3(POPL):1–29, 2019.
- [2] Ben Gelman, Banjo Obayomi, Jessica Moore, and David Slater. Source code analysis dataset. *Data in brief*, 27:104712, 2019.
- [3] Vladimir Kovalenko, Egor Bogomolov, Timofey Bryksin, and Alberto Bacchelli. Pathminer: a library for mining of path-based representations of code. In *Proceedings of the 16th International Conference on Mining Software Repositories*, pages 13–17. IEEE Press, 2019.
- [4] Michail Papamichail, Themistoklis Diamantopoulos, and Andreas Symeonidis. User-perceived source code quality estimation based on static analysis metrics. In *2016 IEEE International Conference on Software Quality, Reliability and Security (QRS)*, pages 100–107. IEEE, 2016.